

文章编号: 2095—0411 (2011) 02—0029—03

# 2—硝基—2—苄基—1,3—丙二醇的合成\*

陈 颖, 徐崇福, 程耀洲, 王昕宇, 张杜鹃  
(常州大学 石油化工学院, 江苏 常州 213164)

**摘要:** 2—硝基—2—苄基—1,3—丙二醇是合成药物中间体  $\alpha$ —丝氨酸的重要先行体, 它由  $\beta$ —硝基苯乙烷与三聚甲醛在碱催化条件下的羟醛缩合反应合成。产物通过重结晶得到无色透明晶体, 产率 49.01%。对去质子剂、反应物配料比、反应温度以及反应时间进行了优化。产物的结构通过 $^1\text{H}$  NMR,  $^{13}\text{C}$ NMR, IR 表征。X—Ray 单晶衍射分析揭示分子间和分子内氢键的存在。

**关键词:** 2—硝基—2—苄基—1,3—丙二醇; 羟醛缩合反应;  $\alpha$ —丝氨酸; 单晶 X—射线衍射光谱

中图分类号: O 62.415

文献标识码: A

## Synthesis of 2—Benzyl—2—Nitropropane—1,3—Diol

CHEN Ying, XU Chong-fu, CHENG Yao-zhou, WANG Xin-yu, ZHANG Du-juan  
(School of Petrochemical Engineering, Changzhou University, Changzhou 213164, China)

**Abstract:** 2—Benzyl—2—nitropropane—1,3—diol, an important precursor for the synthesis of pharmaceutical intermediate  $\alpha$ —serines, was synthesized via Aldol condensation of  $\beta$ —nitrophenylethane and s—trioxane in the presence of a base. A transparent crystalline was obtained after recrystallization with 49.01% yield. The selection of deprotonating agents, ratio of the reactants, reaction temperature and reaction time were optimized. The structure of the product was confirmed by  $^1\text{H}$  NMR,  $^{13}\text{C}$ NMR and IR spectroscopy. X—ray crystallography revealed the existence of both inter— and intro—molecular hydrogen bonds.

**Key words:** 2—Benzyl—2—nitropropane—1,3—diol; Aldol condensation;  $\alpha$ —serines; X—ray crystallography

手性  $\alpha$  位—取代基  $\alpha$ —氨基酸在改性肽和合成酶抑制剂中具有重要作用<sup>[1]</sup>,  $\alpha$ —取代丝氨酸基团由于在一系列具有生物活性的化合物如 sphingofungin E、(+)—conagenin、(+)—乳胞素和多球壳菌素 (myriocin) 中的存在引起了广泛关注。目前合成  $\alpha$ —取代丝氨酸类化合物的方法有手性三氯乙酰亚胺酯重排, 手性烯醇化物烷基化, 手性氮杂环丙烷开环反应<sup>[2,3]</sup>。Shigekige Sano 等<sup>[4,5]</sup>采用多种非手性底物选择性不对称缩合反应合成  $\alpha$ —取代丝氨酸类化合物。1998 年 Shigeki Sano 等

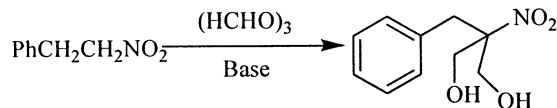
人<sup>[6]</sup>又提出了酶法水解以  $\alpha$ —烷基  $\alpha$ —氨基丙二醇为原料, 猪肝酯酶或胰脂酶催化水解植被得到对应的  $\alpha$ —取代丝氨酸类化合物。Ping Tian 等人提出了以含季碳的 1, 3—丙二醇为起始原料脂肪酶催化不对称合成制备得到  $\alpha$ —取代丝氨酸类化合物, 其中 Ping Tian 等人选择以甲醛水溶液反应制备得到 2—苄基—2—硝基—1, 3 丙二醇, 这一方法对原料甲醛水溶液的用量较大, 产物收率不高, 后处理消耗大量的溶剂。本文参照有关文献以  $\beta$ —溴苯乙烷为起始原料, 经过硝化<sup>[7]</sup>、羟醛缩合合成

\* 收稿日期: 2011—01—13

基金项目: 常州大学科技基金资助 (ZMF05020022)

作者简介: 陈颖 (1986—), 男, 江苏无锡人, 硕士生。

了目标化合物, 选择三聚甲醛与  $\beta$ -硝基苯乙烷反应, 产物易分离精制且副产物少, 合成路线如下:



## 1 实验部分

### 1.1 实验仪器及试剂

实验仪器: BRUKER SMART APEX II DUO型衍射仪, 瑞士 Broker 500MHz 超导核磁仪, 德国 Bruker TENSOR27 原位红外仪, WRS-2 微机熔点仪, 国华 JJ-1 精密增力电动搅拌器, 国华 78 磁力加热搅拌器, SHZ-D (Ⅲ) 循环水式真空泵。

实验试剂:  $\beta$ -硝基苯乙烷 (以  $\beta$ -溴代苯乙烷为原料自行合成), 三聚甲醛 (工业级, 李长荣化学工业股份有限公司), 氢氧化钠, 二甲基亚砜, 乙醚, 甲苯 (AR, 国药)。

### 1.2 2-硝基-2-苄基-1,3-丙二醇合成

取 6.0g (0.040mol)  $\beta$ -硝基苯乙烷, 预热到 40℃, 在磁力搅拌下, 将 4.32g (0.048mol) 三聚甲醛 (溶解在 88mL NaOH 水溶液中), 逐滴加入, 有白色固体生成。反应在 40℃ 加热反应 5h。加入 100mL 水冷却, 有大量晶体析出, 抽滤后滤渣用 30mL 甲苯重结晶, 过滤得到白色晶体, 烘干, 称量得到 4.12g, 收率为 49.01%, 熔点为 101.1—102.3 (文献 [8] 值为 100—102℃)。<sup>1</sup>H NMR (500MHz, CDCl<sub>3</sub>) δ: 7.14—7.33 (m, 5H, Ph), 4.05 (m, 4H, CH<sub>2</sub>OH), 3.25 (s, 2H, PhCH<sub>2</sub>), 2.42 (t, 2H, J = 13.5Hz, CHNO<sub>2</sub>)。<sup>13</sup>C NMR (500MHz, CDCl<sub>3</sub>) δ: 133.26 (Ph), 129.88 (Ph), 128.83 (Ph), 127.85 (Ph), 94.27 (CHNO<sub>2</sub>), 63.98 (CH<sub>2</sub>OH), 38.31 (PhCH<sub>2</sub>)。

## 2 结果与讨论

### 2.1 2-硝基-2-苄基-1,3-丙二醇表征

#### 2.1.1 红外光谱分析

2-硝基-2-苄基-1,3-丙二醇的红外光谱数据见图 1。在图 1 中: 3 029.2—3 088.3cm<sup>-1</sup> (w) 为分子中 C-H 伸缩振动 ( $\nu_{\text{C}-\text{H}}$ ); 3 248.3—3 323.1cm<sup>-1</sup> (vs) 为羟基的伸缩振动 ( $\nu_{\text{O}-\text{H}}$ ); 1

052.0cm<sup>-1</sup> 为羟甲基上 C-O 伸缩振动 ( $\nu_{\text{C}-\text{O}}$ ); 1 353.9cm<sup>-1</sup> 为硝基的对称伸缩振动; 1 584.4cm<sup>-1</sup> 为硝基的反对称伸缩振动。

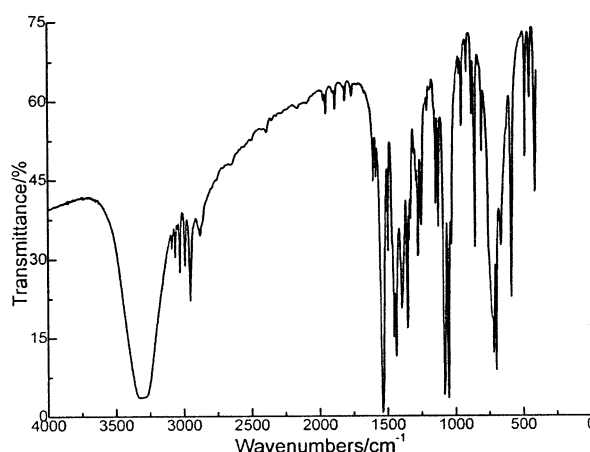


图 1 2-硝基-2-苄基-1,3-丙二醇红外光谱图

Fig. 1 IR spectrum of 2-Benzyl-2-nitropropane-1,3-diol

#### 2.1.2 X-射线单晶衍射分析

选取尺寸为 0.22mm × 0.21mm × 0.18mm 的单晶进行了 X-射线衍射分析, 结构分析表明化合物的晶体结构 C<sub>20</sub>H<sub>26</sub>N<sub>2</sub>O<sub>8</sub>, 属单斜晶系, 空间群 P2 (1) /c, 晶胞参数  $a = 16.242 (4)$  nm,  $b = 5.9233 (13)$  nm,  $c = 11.485 (3)$  nm, 晶胞体积  $V = 1079.7$  nm<sup>3</sup>, 晶胞中所含分子数  $Z = 2$ , 晶体密度  $D_c = 1.299$  g/cm<sup>3</sup>, 吸收系数  $\mu = 0.101$ ,  $F(000) = 448$ 。

化合物分子结构图见图 2。在晶体结构中, 每个 2-硝基-2-苄基-1,3-丙二醇分子上的羟基氢原子桥连另一个分子的羟基氧原子, 4 个分子通过这种分子间氢键形成一个八元环。每个氢桥还

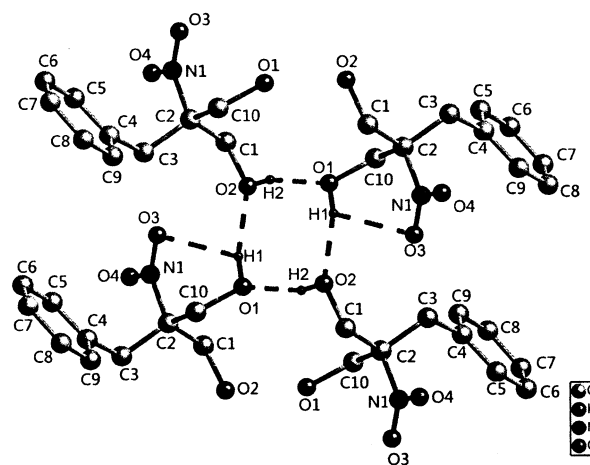


图 2 晶体状态中的分子结构图

Fig. 2 Molecular structure in crystal state

通过与硝基氧原子形成分子内氢键。因此每个分子中的两个羟基亚甲基在空间位置上并不完全等同,

这从它们<sup>1</sup>H核磁谱中不等同的化学位移以及更为复杂的偶合模式也能看出来。苄基碳(C3)上的两个较大基团之间的位阻效应使C2C3C4夹角为114.87,偏离四面体结构。具有sp<sup>2</sup>杂化轨道的硝基呈平面三角形结构,位阻较小。这给了其它相邻基团有向硝基弯曲的空间。两个羟基亚甲基之间(111.83)以及羟基亚甲基与苄基之间(111.17)的夹角都超过sp<sup>3</sup>杂化理论值,而羟基亚甲基与硝基之间的夹角(103.98)以及苄基和硝基之间的夹角(108.02)都小于sp<sup>3</sup>杂化理论值。

## 2.2 羟醛缩合反应条件的确定

### 2.2.1 脱质子剂对产率的影响

羟醛缩合反应一般都采用碱催化法<sup>[9]</sup>。在5h下溶剂NaOH、NaHCO<sub>3</sub>、三乙胺的产率分别为48.83%、31.70%、21.60%,选择强碱氢氧化钠作为脱质子碱效果最好。

### 2.2.2 原料配比的选择

原料配比对产率的影响如表1所示,当原料配比为1:1.2时,产率为48.32%,而继续增加三聚甲醛,对反应收率的影响极为有限。

表1 投料比对产率的影响

Table 1 Effect of the feed ratio on the yield of the product

n(β—硝基苯乙烷):n(三聚甲醛)	产率/%
1:1	45.27
1:1.1	47.74
1:1.2	48.32
1:1.3	48.35
1:1.4	48.37
1:1.5	48.38

### 2.2.3 反应温度的选择

反应温度对产率的影响如表2所示,当温度在40℃时,反应收率最高,为49.01%。

表2 反应温度对产率的影响

Table 2 Effect of the reaction temperature on the yield of the product

反应温度/℃	0	20	40	50	60
产率/%	13.53	23.76	49.01	48.43	46.57

### 2.2.4 反应时间的选择

原料比为n(β—硝基苯乙烷):n(三聚甲醛)=1:1.2以及反应温度固定在40℃时,改变反应时间,所得结果如表3所示,反应时间为5h时达到最高,可得收率为48.83%。

表3 反应时间对产率的影响

Table 3 Effect of the reaction time on the yield of the product

反应时间/h	3	5	8	10	12
产率/%	37.22	48.83	47.71	46.52	44.90

## 3 结 论

以自行制备的β—硝基苯乙烷与三聚甲醛,在NaOH水溶液为脱质子剂存在下,40℃条件下反应5h,得到2—硝基—2—苄基—1,3—丙二醇,产物经重结晶得到无色透明晶体,产率为49.01%。产物的分子结构得到<sup>1</sup>H,<sup>13</sup>C核磁共振波谱和红外光谱确证。X—光单晶衍射分析揭示分子间和分子内氢键的存在。采用这种方法,原料价廉易得,工艺条件温和,并且操作条件简单。使用三聚甲醛作为原料,反应时间短副产物少,反应计量容易控制,避免大量溶剂的消耗。

## 参 考 文 献:

- Susumi Hatakeyama, Hiromitsu Matsumoto, Hiroko Fukuyama, et al. Et<sub>2</sub>AlCl—catalyzed cyclization of epoxytrichloroacetimidates for the synthesis of α—substituted serines [J]. Journal of Organic Chemistry, 1997, 62 (7): 2 275—2 279.
- Jonathan W Lane, Randall L Halcomb. Anew method for the stereoselective synthesis of α—substituted serine amino acid analogues [J]. Organic Letters, 2003, 5 (22): 4 017—4 020.
- Carda M, Murga J, Castillo E, et al. Stereoselective synthesis of α—substituted serines from protected erythrulose oximes [J]. Tetrahedron: Asymmetry, 1998, 9: 1 703—1 712.
- Shigeki Sano, Toshio Miwa, Xiao—Kai Liu, et al. Tin— or magnesium— mediated diastereoselective aldol— type reactions for the asymmetric synthesis of α— substituted serines [J]. Tetrahedron: Asymmetry, 1998, 9: 3 615—3 618.
- Shigeki Sano, Takahiro Ishii, Toshio Miwa, et al. Tin— mediated enantioselective aldol— type reaction for the asymmetric synthesis of α— substituted serines utilizing an external chiral ligand, (—) — sparteine [J]. Tetrahedron Letters, 1999, 40: 3 013—3 016.
- Shigeki Sano, Kazuhiko Hayashi, Toshio Miwa, et al. New enantiodivergent procedure for the syntheses of chiral α— substituted serines from α— alkyl— α— aminomalonates utilizing enzymatic hydrolysis [J]. 1998, 39: 5 571—5 574.
- 马涛, 徐文芳, 王俊丽, 等. AHPA衍生物的设计、合成及抗癌活性研究 [J]. 中国药物化学杂志, 2003, 13 (2): 70—75.
- Martin Eberle, Martin Egli, Dieter Seebach. Enantioselective saponification of diacetates of 2—nitro—1, 3—propanediols by pig—liver esterase and preparation of enantiomerically pure derivatives of 2—nitroallylic alcohols (chiral multiple—coupling reagents) [J]. Helvetica Chimica Acta, 1988, 71 (1): 1—23.
- 谭露璐, 钱君律, 伍艳辉. 羟醛缩合催化剂研究进展 [J]. 化学工业与工程, 2006, 23 (1): 70—73.